

**Table 10.1.** Production of high magnetic fields

Method	Duration	Maximum field (T)
Air-core solenoid $\sim 1 \text{ kA}$	Steady	<u>0.2</u>
→ Permanent magnet $\sim 0.1 - 10 \text{ G}$	Steady	<u>0.1-2</u>
→ Electromagnet $\sim 10 - 25 \text{ kA}$	Steady	<u>0.5-2.5</u>
→ Superconducting solenoid $\sim 30 \text{ kA}$	Steady	<u>2-23</u>
→ Bitter magnet $> 1 \text{ ME}$	Steady	<u>15-35 - 37T</u> (24 MW, 30 kA, $\phi 5 \text{ cm}$ )
→ Hybrid magnet $> \infty$	Steady	<u>40-45</u>
Discharge coil	100 ms	25-80
Discharge coil	10 $\mu\text{s}$	50-100
Expendible coil	1 $\mu\text{s}$	<u>&gt; 100</u>
Implosive flux compression	< 1 $\mu\text{s}$	1000

THz waveform  $E \uparrow$   $B \leftarrow$   $100 \text{ kV/cm}$   $\sim 1 \text{ ps}$   $0.3 \text{ T}$

$$E = \frac{1}{c} B$$

$$E \sim 1 \text{ MV/cm} \sim 10^8 \text{ V/m}$$

$$c \sim 3 \cdot 10^8 \text{ m/s}$$



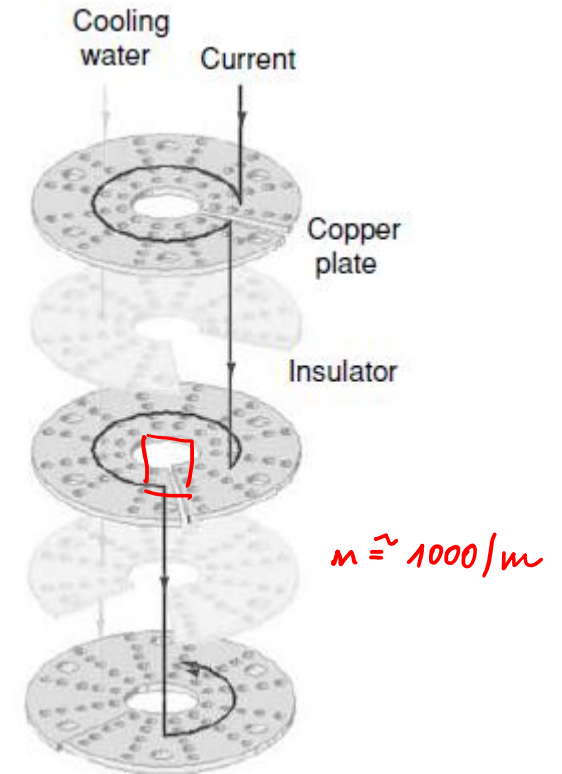
$$\oint \vec{H} \cdot d\vec{l} = I$$

$$2\pi r H = I$$

$$H = \frac{I}{2\pi r} \leftarrow \text{at radius } r$$



GRENOBLE LEHM



**Table 10.1.** Production of high magnetic fields

Method	Duration	Maximum field (T)
Air-core solenoid	Steady	0.2
→ Permanent magnet	Steady	0.1–2
Electromagnet	Steady	0.5–2.5
Superconducting solenoid	Steady	2–23
Bitter magnet	Steady	15–35
Hybrid magnet	Steady	40–45
Discharge coil	100 ms	25–80
Discharge coil	10 μs	50–100
Expendible coil	1 μs	>100
Implosive flux compression	< 1 μs	1000
THz waveform	~ 1 ps	0.3 T

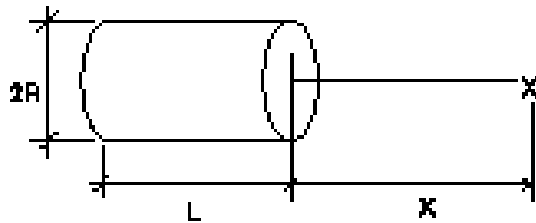
$\text{Nb}_2\text{Fe}_{14}\text{B}$  :  $M_s \sim 1.3 \text{ MA/m}$   $\xrightarrow{\mu_0 \sim 10^4 \approx 1 \text{ T}}$

→  $B < 0.5 \text{ T}$  perm. mg lepsi' volba

• N35 - N65

<https://silnemagnety.cz/kalkulacka/>

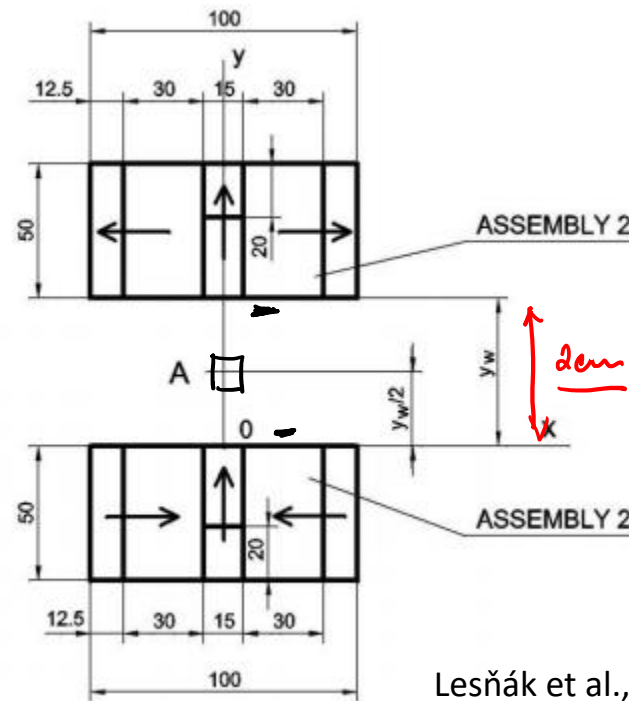
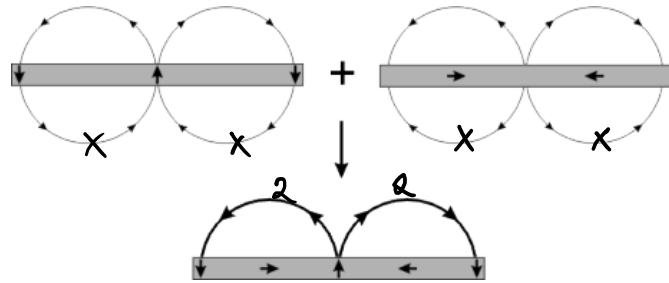
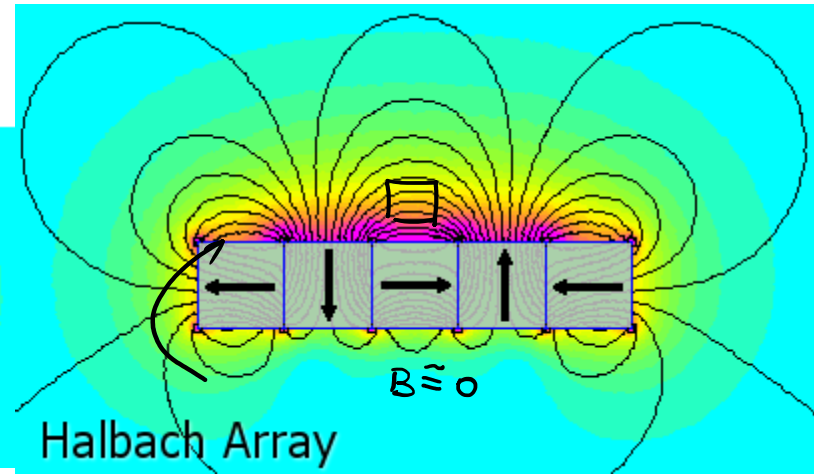
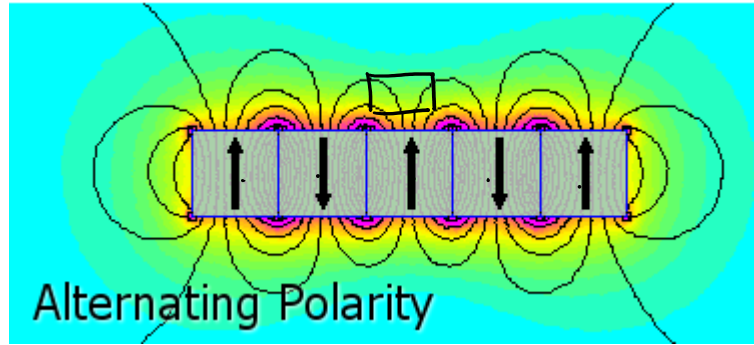
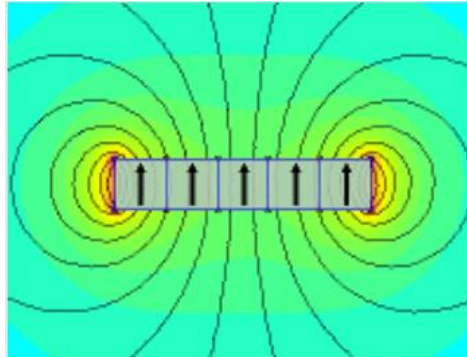
• ~ 1.5 T @ 300 \$



$$B_x = \frac{B_r}{2} \left( \frac{(L + X)}{\sqrt{R^2 + (L + X)^2}} - \frac{X}{\sqrt{R^2 + X^2}} \right)$$

# GENERACE B

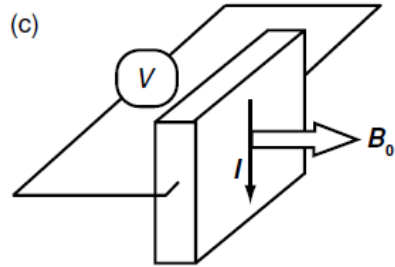
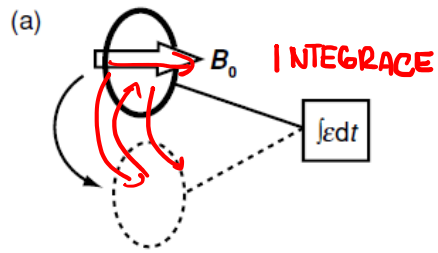
## HALBACHOVO USPOŘÁDÁNÍ



$$M_s \sim 1,3T$$

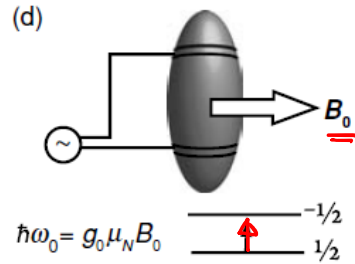
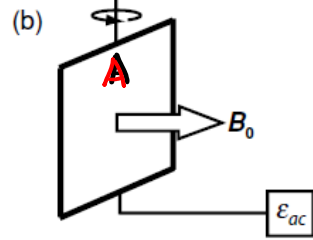
$$B \sim 2T$$

Pohybující se cívka



Hallovské a magnetorezistenční senzory

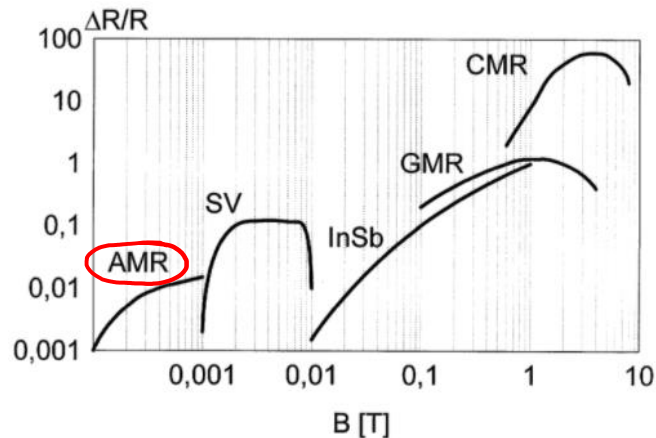
Rotující cívka



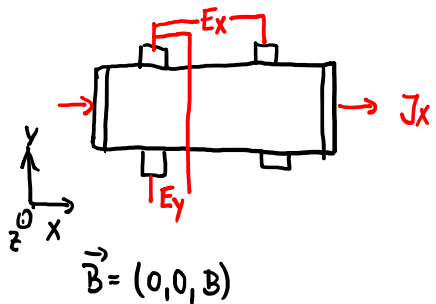
NMR senzory

$$\epsilon = -N \frac{\partial \Phi}{\partial t} \quad \Phi = \vec{B} \cdot \vec{A} = \text{plocha}$$

Magnetic Sensor	Detectable Field Range			
	1nT	1 μT	1 mT	1 T
SQUID	[Bar chart showing range from ~10 pT to ~100 μT]			
FIBER-OPTIC	[Bar chart showing range from ~10 nT to ~100 μT]			
OPTICALLY PUMPED	[Bar chart showing range from ~10 nT to ~100 μT]			
NUCLEAR PRECESSION	[Bar chart showing range from ~10 nT to ~100 μT]			
<u>SEARCH COIL</u>	[Bar chart showing range from ~10 nT to ~100 μT]			
<u>AMR SENSORS</u>	[Bar chart showing range from ~10 nT to ~100 μT]			
FLUX-GATE	[Bar chart showing range from ~10 nT to ~100 μT]			
MAGNETOTRANSISTOR	[Bar chart showing range from ~10 nT to ~100 μT]			
MAGNETO-OPTICAL	[Bar chart showing range from ~10 nT to ~100 μT]			
<u>HALL-EFFECT</u>	[Bar chart showing range from ~10 nT to ~100 μT]			
<u>GMR SENSORS</u>	[Bar chart showing range from ~10 nT to ~100 μT]			
EARTH'S FIELD				



# DETEKCE B - MAGNETOREZISTENCE



$$j_x(B)$$

$$\rho(B)$$

$$\sigma(B)$$

polybf. ver :  $m(\dot{\vec{n}} + \frac{\vec{n}}{\tau}) = e(\vec{E} + \vec{n} \times \vec{B})$

steady state :  $\dot{\vec{n}} = 0$

$$\vec{n} = \frac{e\tau}{m} (\vec{E} + \vec{n} \times \vec{B})$$

$\mu$   $\downarrow$   $j = me\vec{n}$

rozptyl-čas  $\rightarrow$

$$\mu B = \frac{eB}{m} \tau = \omega_c \tau \equiv \alpha$$

• Longitudinální MR?  $B \parallel \hat{x} \Rightarrow j_x(B) \neq f(B)$

• Transverzální MR?  $B \perp \hat{x}$   
 Transverzální MR?  $\vec{n} = ?$   $B \parallel \hat{z}$

$$n_x = \frac{j_x}{me} = \mu E_x + \alpha n_y$$

$$n_y = \mu E_y - \alpha n_x$$

$$n_z = \mu E_z$$

$$n_x = \mu E_x + \mu \alpha E_y - \alpha^2 n_x = \frac{\mu}{1+\alpha^2} (E_x + \alpha E_y)$$

$$n_y = \dots = \frac{\mu}{1+\alpha^2} (E_y - \alpha E_x)$$

$\Rightarrow$  je to tenzor  $\vec{j} = me\vec{n} = \vec{\sigma} \vec{E}$

$$\vec{\sigma} = \frac{me\mu}{1+\alpha^2} \begin{pmatrix} 1 & \alpha & 0 \\ -\alpha & 1 & 0 \\ 0 & 0 & 1+\alpha^2 \end{pmatrix}$$

$\Rightarrow \vec{j} \neq \vec{E}$ , stáčí se

$\rightarrow \alpha \gg 1$   
 $\rightarrow$  takže pro  $B \rightarrow \infty$ ,  $\sigma_{xx} \propto B^{-2}$  - tj. kvadratická MR :? Ne tak rychle, obráz. podm.

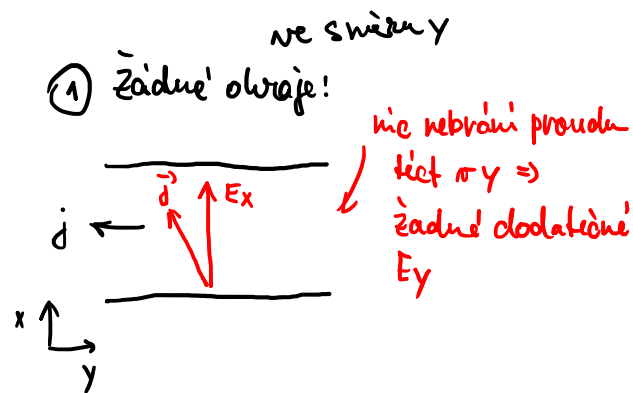
# DETEKCE B - MAGNETOREZISTENCE

tenzor jen pro  $x, y$ :  $\vec{\sigma} = \frac{\sigma_0}{1+\alpha^2} \begin{pmatrix} 1 & \alpha \\ -\alpha & 1 \end{pmatrix}$

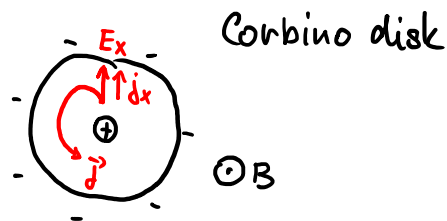
chceme-li spočítat  $\vec{j}$ :  $\vec{j} = \vec{\sigma} \vec{E} = \vec{\sigma} \nabla \varphi$  ← elstat. potenciál

⊕  $\Delta \varphi = 0$  ⊕ obroj. podm.: fyzické obvaje vzorku

→ "Jaký je proud kolmý na  $\underline{E_x}$ ?"



$E = (E_x, 0, 0)$   
obvoj podm.  $E_y = 0$



$\vec{j} = \vec{\sigma} \vec{E}$

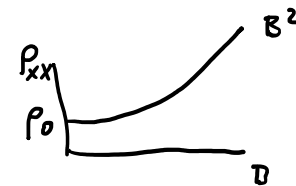
$j_x = \frac{\sigma_0}{1+\alpha^2} E_x$   
 $j_y = -\frac{\sigma_0}{1+\alpha^2} \alpha E_x$

$\vec{j} \neq \vec{E}$

$\alpha = \mu B$

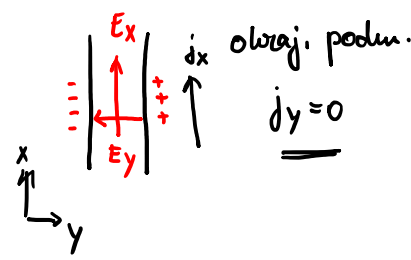
$\Rightarrow \rho_{xx} = \frac{1}{\sigma_{xx}} = \frac{1+\alpha^2}{\sigma_0} \propto B^2$

MR kvadrat.



# DETEKCE B - MAGNETOREZISTENCE

② Hall bar :



nelze držet  $E = (E_x, 0, 0)$ , máme vždy  $(\underline{E}_x, \underline{E}_y) \neq 0$   
naopak máme, že vždy  $\underline{j} = (j_x, 0, 0) \rightarrow$  přejít k  $\bar{\rho}$ , protože  $\underline{j}$  je známé:

a)  $\underline{j}_y = 0$

$$j_y = \frac{\sigma_0}{1+\alpha^2} (-\alpha E_x + E_y) \stackrel{!}{=} 0 \Rightarrow E_y = \alpha E_x \quad \text{Hall voltage}$$

$$j_x = \frac{\sigma_0}{1+\alpha^2} (E_x + \alpha E_y) = \frac{\sigma_0}{1+\alpha^2} E_x (1 + \alpha^2) = \sigma_0 E_x \neq f(B)!$$

b) nebo pomocí přechodu k  $\bar{\rho} = \bar{\sigma}^{-1}$   $\underline{E} = \bar{\rho} \underline{j}$

$$\begin{bmatrix} a & b \\ -b & a \end{bmatrix}^{-1} = \frac{1}{a^2 + b^2} \begin{bmatrix} a & -b \\ b & a \end{bmatrix}$$

$a = 1$   
 $b = \alpha$

$$\bar{\rho} = \frac{1}{\sigma_0} \begin{pmatrix} 1 & -\alpha \\ \alpha & 1 \end{pmatrix}$$

naš případ :  $\underline{j} = (j_x, 0, 0)$

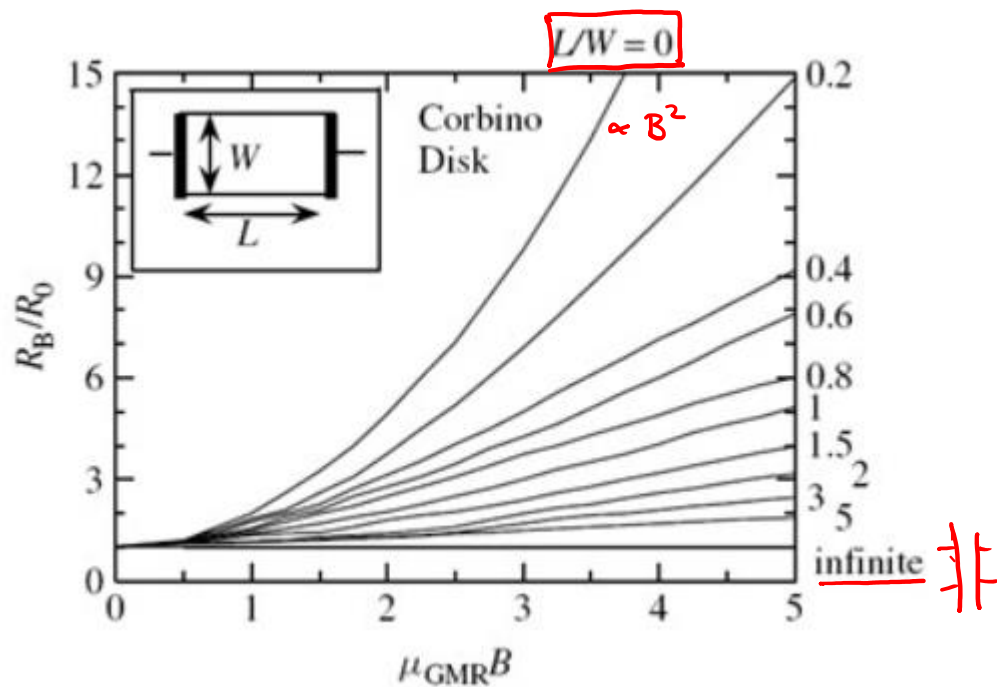
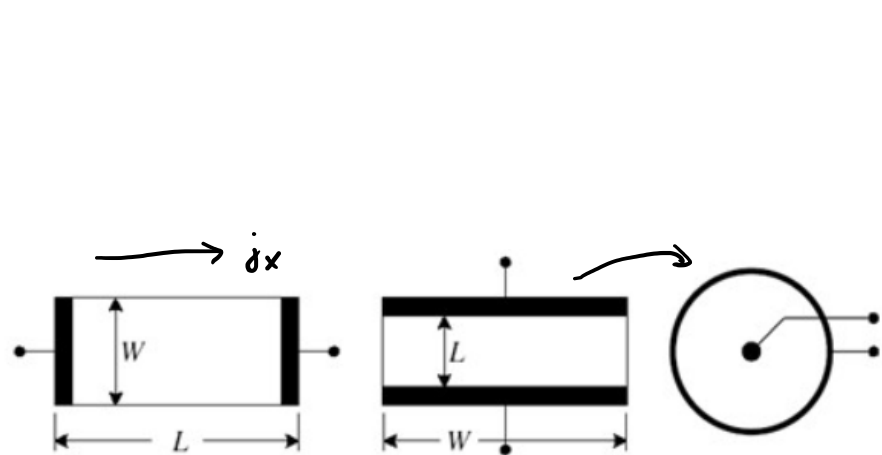
$$E_x = \frac{1}{\sigma_0} j_x = \rho_0 j_x \quad \rho_{xx} \neq f(B)$$

$$E_y = \rho_0 \alpha j_x = \frac{\mu B}{ne\mu} j_x = R_B j_x \quad \text{Hallova konst.}$$

$\Rightarrow$  žádná MR

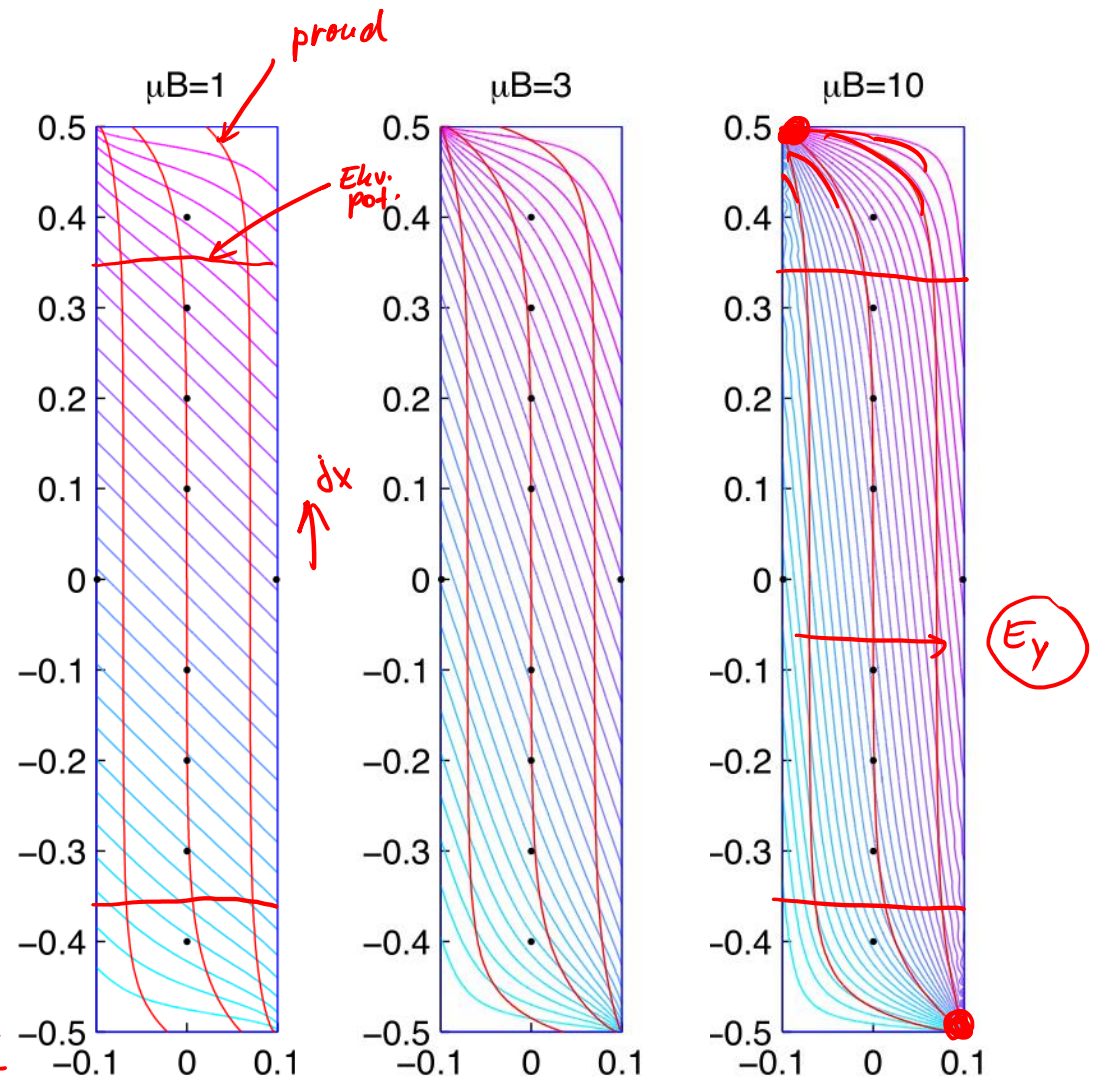


# DETEKCE B - MAGNETOREZISTENCE



Lippmann, Kuhrt (1958)

Shurt, Solid-state Electronics 20, 389 (1977)



Vít Novák, AVČR



# DETEKCE B - MAGNETOREZISTENCE

→ v realitě je MR přítomná skoro vždy:  
(i v Hallbar geom.)

- a)  $\rho$  roste s B, ale pak se saturuje
- b)  $\rho$  roste stále jako  $B^2$
- c) v jednom směru B platí a), v druhém b)

→ dokud jen 1m, 1 $\Omega$ , 1 $\mu$  → víceprásová realita transportu

• VÍCEPÁSOVÁ MR:

$$\alpha_i = \mu_i B$$

$$\mu_i = \frac{e \tau_i}{m_i}$$

$$\sigma_{0i} = e n_i \mu_i$$

$$i = 1, 2, \dots$$

$$\bar{\sigma} = \bar{\sigma}_1 + \bar{\sigma}_2 = \frac{\sigma_{01}}{1 + \alpha_1^2} \begin{pmatrix} 1 & \alpha_1 \\ -\alpha_1 & 1 \end{pmatrix} + \frac{\sigma_{02}}{1 + \alpha_2^2} \begin{pmatrix} 1 & \alpha_2 \\ -\alpha_2 & 1 \end{pmatrix} = \begin{bmatrix} a & b \\ -b & a \end{bmatrix} \quad \text{v Hallbar} \rightarrow \bar{\rho}$$

$$a = \frac{\sigma_{01}}{1 + \alpha_1^2} + \frac{\sigma_{02}}{1 + \alpha_2^2}$$

$$b = \frac{\sigma_{01} \alpha_1}{1 + \alpha_1^2} + \frac{\sigma_{02} \alpha_2}{1 + \alpha_2^2}$$

$$\bar{\rho} = \frac{1}{a^2 + b^2} \begin{bmatrix} a & -b \\ b & a \end{bmatrix}$$

$$\Rightarrow \rho_{xx} = \frac{a}{a^2 + b^2}$$

Hallbar

$$\rho_{xx} = \frac{\sigma_{01}(1 + \alpha_2^2) + \sigma_{02}(1 + \alpha_1^2)}{\sigma_{01}^2(1 + \alpha_2^2) + \sigma_{02}^2(1 + \alpha_1^2) + 2\sigma_{01}\sigma_{02}(1 + \alpha_1\alpha_2)}$$

případy: ①  $B=0$   $\alpha_i=0$

$$\rho_{xx}(0) = \frac{\sigma_{01} + \sigma_{02}}{(\sigma_{01} + \sigma_{02})^2} = \frac{1}{\sigma_{01} + \sigma_{02}} = \frac{1}{\sigma_0} \neq f(B)$$

②  $B \neq 0$ ,  $\mu_1 = \mu_2$  ( $\alpha_1 = \alpha_2$ )

$$\rho_{xx} = \frac{(1 + \alpha^2)}{(1 + \alpha^2)^2} \rho_{xx}(0) = \frac{1}{1 + \alpha^2} \neq f(B)$$

③  $B \rightarrow \infty$   $\mu_1 \neq \mu_2$   $\alpha_i \gg 1$

$$\rho_{xx} = \frac{\sigma_{01} \mu_2^2 + \sigma_{02} \mu_1^2}{\mu_1^2 \mu_2^2 + \dots} \neq f(B)$$

$$\neq \frac{1}{\sigma_0} = \frac{1}{\sigma_{01} + \sigma_{02}}$$



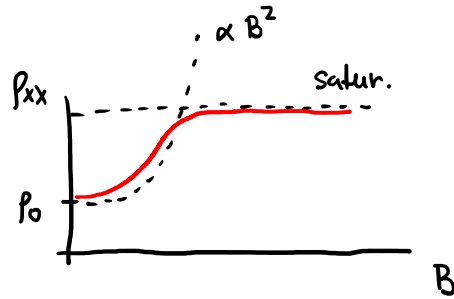
# DETEKCE B - MAGNETOREZISTENCE

① Taylor rozvoj:  $f(x)|_{x \rightarrow 0} \sim f(0) + f'(0)x$   $x \rightarrow B^2$

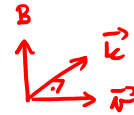
$$\rho_0 = \frac{1}{\sigma_0}$$

Matlab:  $\rho_{xx} \sim \rho_0 \left[ 1 + \frac{\sigma_{01}\sigma_{02}(\mu_1 - \mu_2)^2}{(\sigma_{01} + \sigma_{02})^2} B^2 \right]$

kvadratická MR i v Hallbar rovn. pro malá B



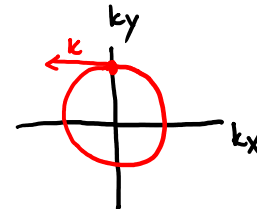
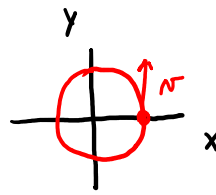
• Spejalkální význam saturace?



$$F = \hbar \dot{k} = m \dot{r} = -e(\vec{E} + \vec{v} \times \vec{B})$$

" $\dot{k} \propto \vec{v} \times \vec{B}$ "  $\int dt$

" $k \propto r \times B$ "

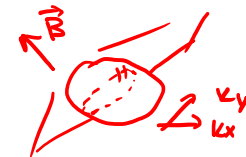


→ cyklotron. orb. v r-prostor ↔ orbita v k-prost.

$$E = \frac{\hbar^2 k^2}{2m}$$

$E_{\text{konst}} = \text{sféra}$

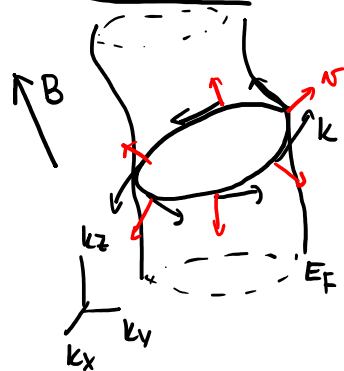
$\perp B$



# DETEKCE B - MAGNETOREZISTENCE

→ pro  $\mu_B \gg 1$ , mnoho orbit v  $\pi$ -prostoru, než se rozptýlí ⇒ mnoho orbit v  $k$ -prostoru

UZAVŘENÉ ORBITY:



→  $E_x$  přidá rychlost  $v_x$ , ale orbitování má místo, žádný dopředný pohyb až do rozptylu

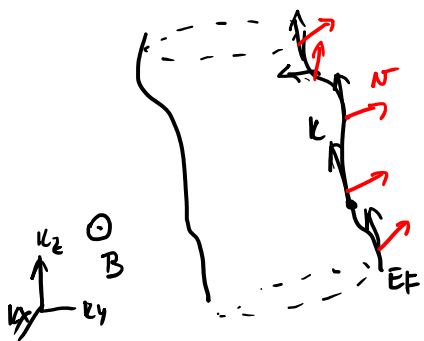
$\langle v_x \rangle = 0$ . Proto také  $\sigma_{xx} \propto B^{-2}$   $\sigma_{yy} \propto B^{-2}$  klesají k 0 pro velké B

→  $\sigma_{xx} \propto B^{-2}$  (jsem v Halbach geom) ⇒  $\rho_{xx} = \frac{a}{a^2 + b^2}$   $a = \sigma_{01} \alpha_1^{-2} + \sigma_{02} \alpha_2^{-2}$   
 $b = \sigma_{01} \alpha_1^{-1} + \sigma_{02} \alpha_2^{-1}$

vytknout B k  $\alpha = \mu_B$

$$\rho_{xx} = \frac{B^{-2}}{B^{-2}} \frac{k_1 \times f(B)}{k_2 B^{-2} + k_3} \rightarrow \text{konst.}$$

OTEVŘENÉ ORBITY:



→ neuzavř. orbita se nepodílí na snížení  $\sigma$  v  $\hat{y}$

$$n_y \neq f(B) \rightarrow \frac{n_{yy}}{\sigma_{yy}} = c \quad (ne \propto B^{-2})$$

$$\sigma_{1y} = \sigma_{01} \begin{pmatrix} \alpha_1^{-2} & \alpha_1^{-1} \\ -\alpha_1^{-1} & c \end{pmatrix}$$

$$\begin{bmatrix} a & b \\ -b & c \end{bmatrix}^{-1} = \frac{1}{ac + b^2} \begin{bmatrix} c & -b \\ b & a \end{bmatrix}$$

$$\sigma = \sigma_1 + \sigma_2$$

$$\rho_{xx} = \frac{c}{ac + b^2} = \text{konst. } B^2$$

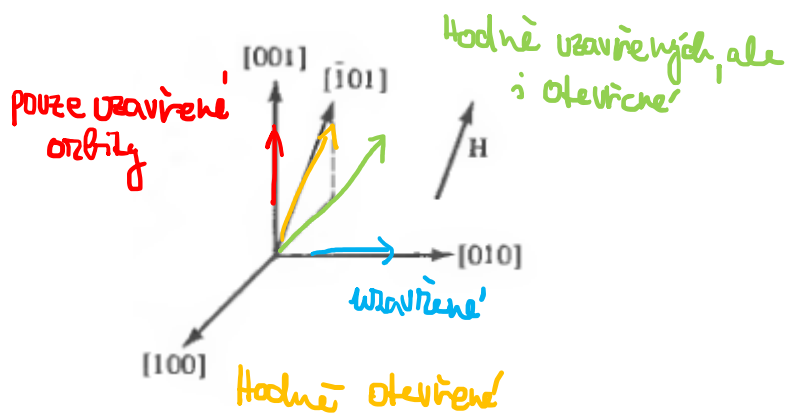
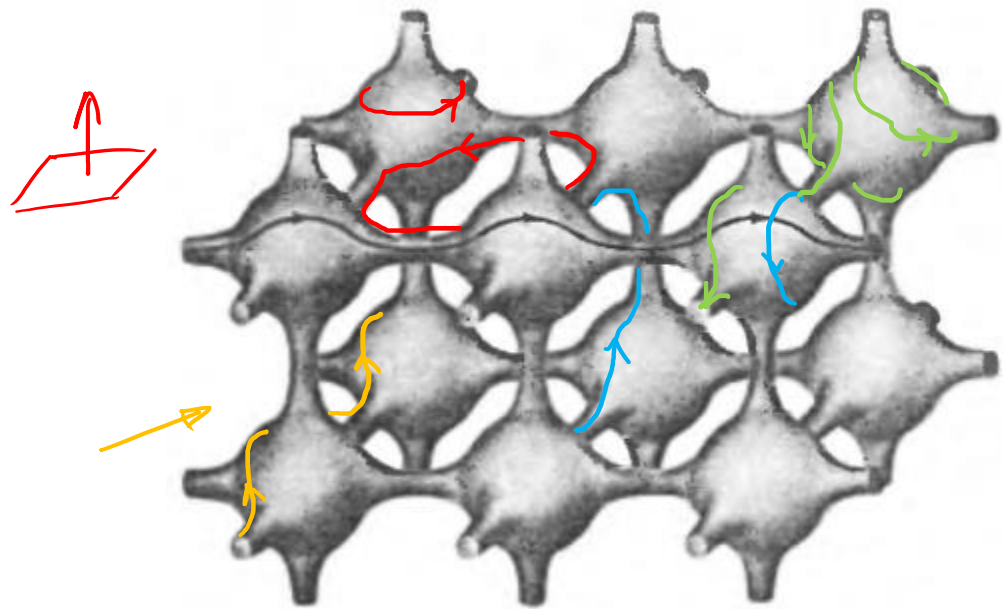
$\downarrow \propto B^{-2}$        $\downarrow \propto B^{-2}$

→ žádná saturace

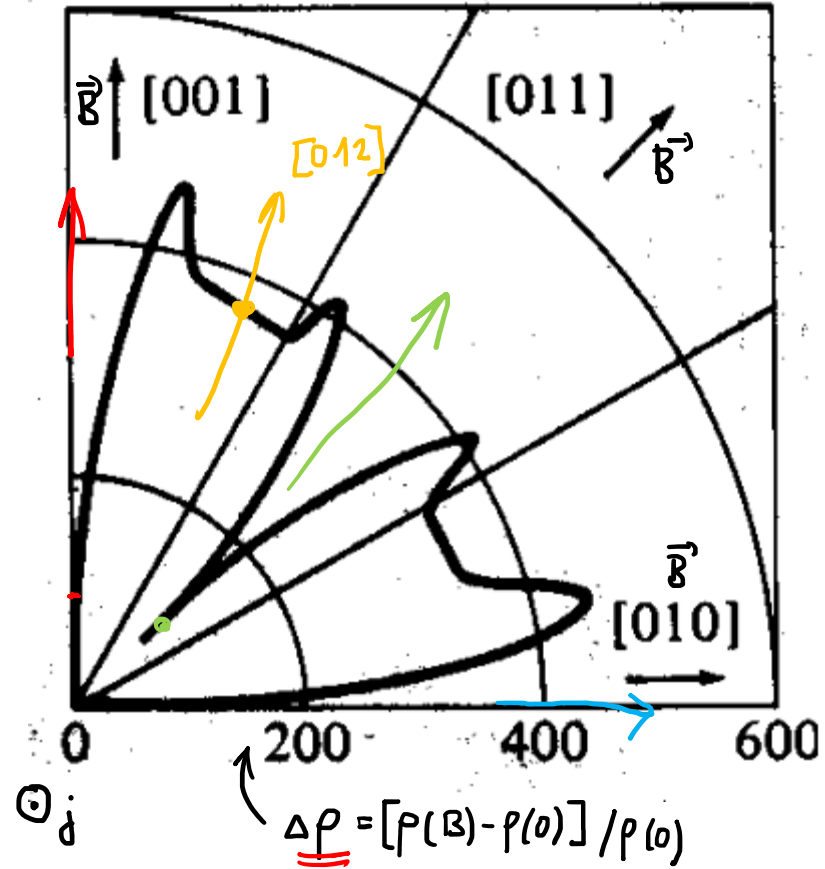
# DETEKCE B - MAGNETOREZISTENCE

Co

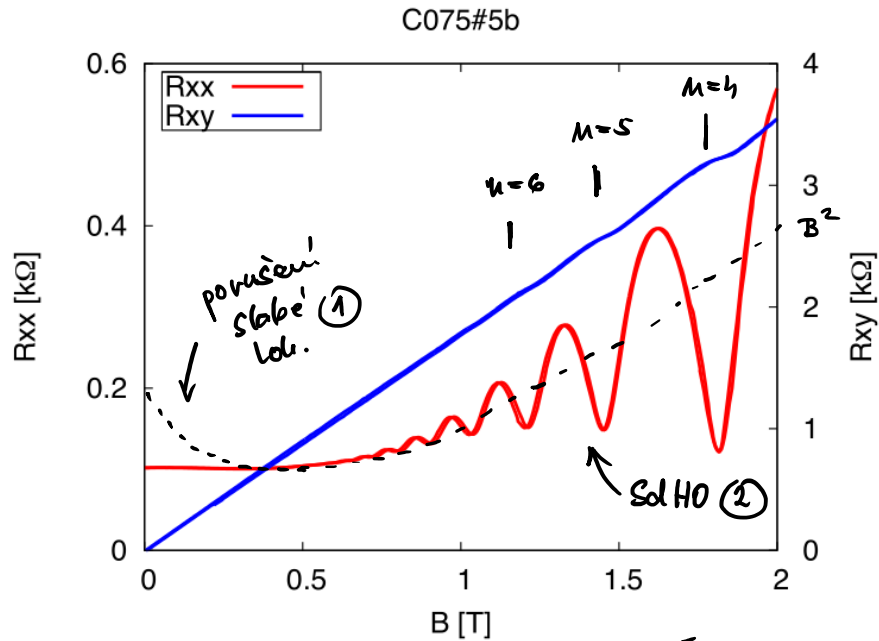
FERMI PLOCHA



B = 1.8 T



# DETEKCE B - MAGNETOREZISTENCE KVANTOVA'



(1) WL:  $e^{i\vec{k}\cdot\vec{r}}$   $\hbar\vec{k} = \vec{p} \rightarrow \vec{p} - e\vec{A}$

$\phi = \int (\vec{k} - \frac{e}{\hbar}\vec{A}) \cdot d\vec{l}$

(2) SolHO:

$$\phi = 2\pi(m + 1/2) = \int \vec{k} \cdot d\vec{r} - \frac{e}{\hbar} \int \vec{A} \cdot d\vec{r}$$

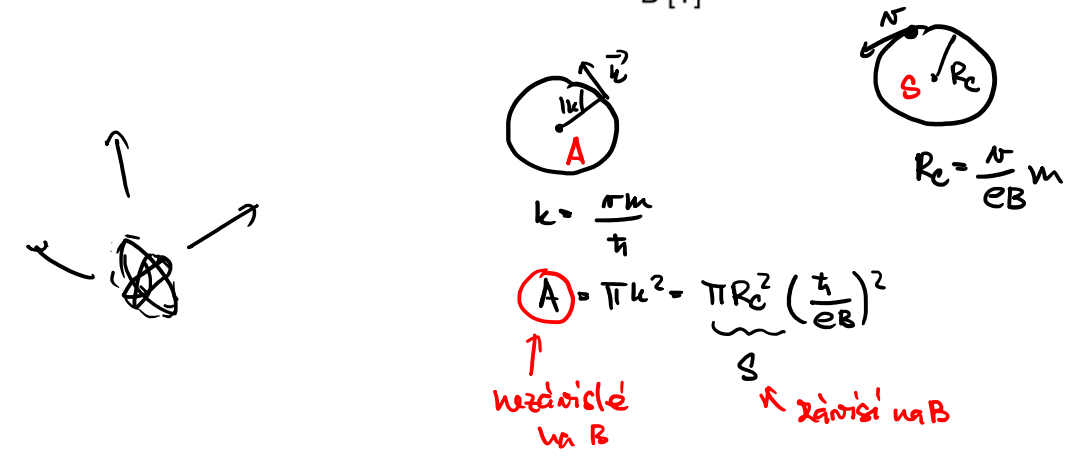
$$= \frac{1}{\hbar} \int m\vec{v} \cdot d\vec{r} = -\frac{e}{\hbar} \int \nabla \times \vec{A} \cdot d\vec{r} = -\frac{e}{\hbar} SB$$

$$= \frac{R_c}{\hbar} eB \int \hat{n} \cdot d\vec{r} = \frac{2}{\hbar} \pi R_c^2 eB$$

$$\frac{2\pi}{e\hbar} \frac{SB}{e} = \frac{\phi}{\phi_0} = 2\pi(m + 1/2)$$

$$\frac{1}{B} = \frac{2\pi e}{\hbar A} (m + 1/2)$$

$m = 1, 2, 3, \dots$



$$A\left(\frac{1}{B}\right) = \frac{1}{B_n} - \frac{1}{B_{n+1}} = \frac{2\pi e}{\hbar A}$$

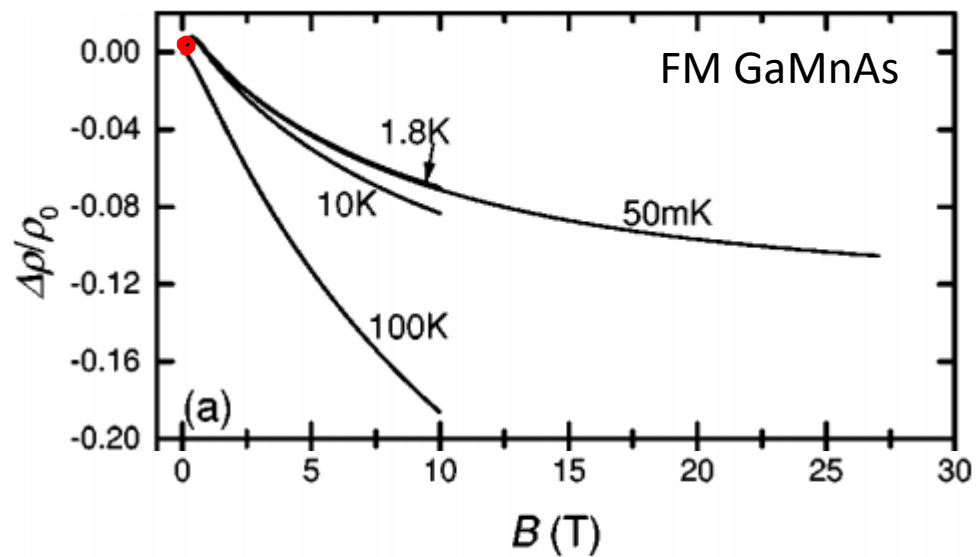
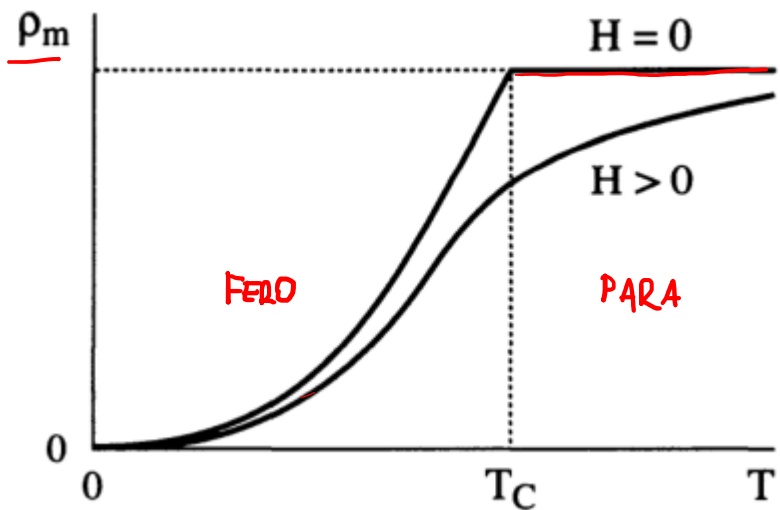
← plocha křezu  $E_F$

# DETEKCE B a T - MAGNETOREZISTENCE V MAGN. LÁTKÁCH

$$\sigma = me\mu = me^2 \frac{\tau}{m^*} \leftarrow \text{rozptř. časem} \leftrightarrow \text{neuspořádanost v sít.}$$

$$\rho(B, T) \approx \rho_0 - \langle S_i, S_j \rangle_{B, T} \sim M^2(T=0) - M^2(T)$$

T ↑ větší neuspoř. ↗ ρ  
 B ↑ menší neusp. ↘ ρ



# DETEKCE B a M - MAGNETOREZISTENCE V MAGN. LÁTKÁCH

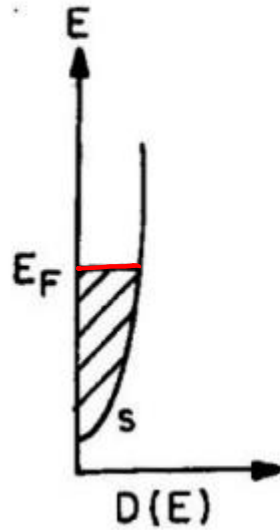
ODBOĚKA: Vodičnost  $\sigma$  kovů

$$\sigma = ne\mu$$

$$\sigma = E\mu$$

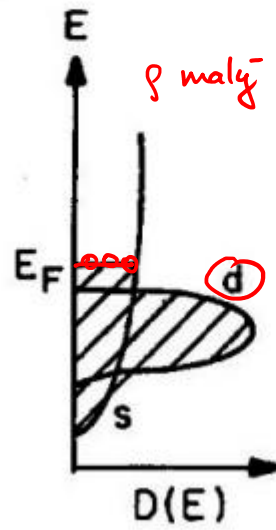
Alkali metals

Na  
Cs



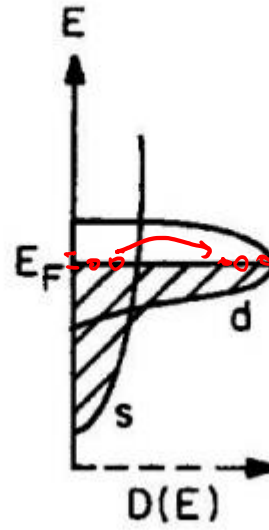
Noble metals

Cu  
Ag



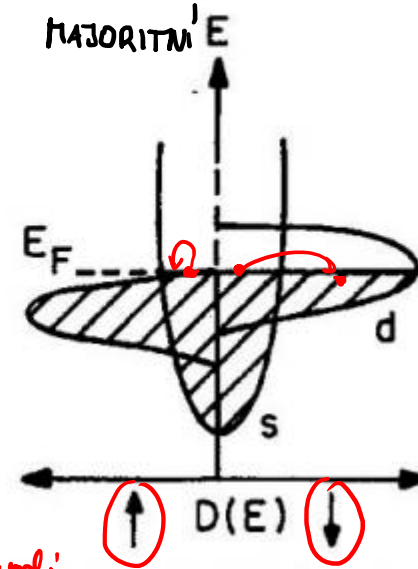
Nonferromagnetic

V  
Zr



Ferromagnetic transition metals

Fe  
Ni



Mottův two-current model:

s stav:  $m \downarrow \mu \uparrow$  ( $\mu \propto [\partial_k E(k)]^{-1}$ )

d stav:  $m \uparrow \mu \downarrow$

dobře vodi

*veliká*  
*malá*

$$\sigma = \sigma_{\uparrow} + \sigma_{\downarrow} \rightarrow \rho = \frac{\rho_{\uparrow} \rho_{\downarrow}}{\rho_{\uparrow} + \rho_{\downarrow}}$$

dobře se do nich rozptyluje

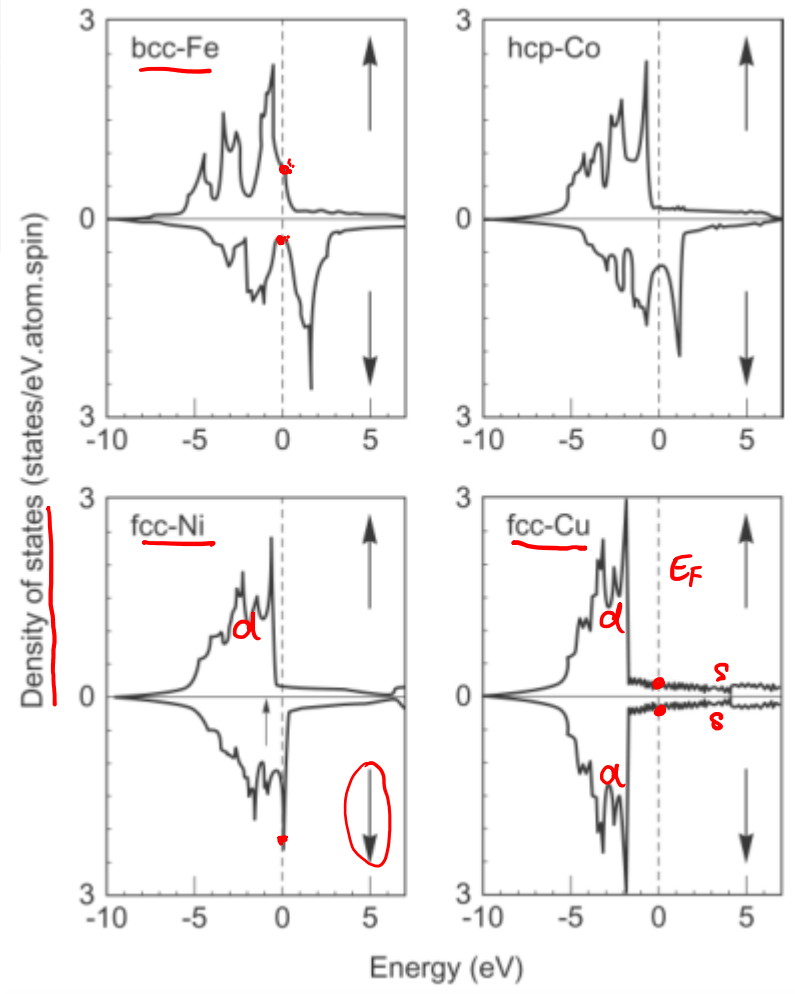
# DETEKCE B a M - MAGNETOREZISTENCE V MAGN. LÁTKÁCH

**Table 5.11. Room-temperature resistivity of metals ( $10^{-8} \Omega \text{ m}$ )**

Metal	Orbitals	Magnetization	$e\uparrow$	$e\downarrow$	$\rho$	$\alpha$
<u>Cu</u>	<i>s</i> -band	Paramagnet	4	4	2	1
<u>Ni</u>	<i>d</i> -band	Strong ferromagnet	13	65	11	5
Co	<i>d</i> -band	Strong ferromagnet	8	120	7	15
<u>Fe</u>	<i>d</i> -band	Weak ferromagnet	32	28	15	0.9

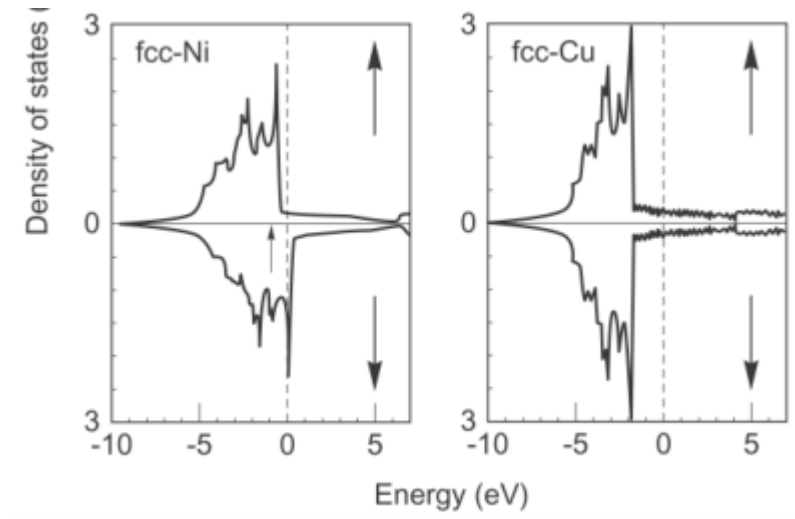
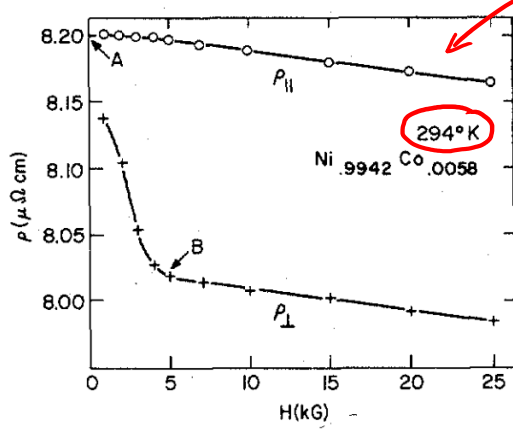
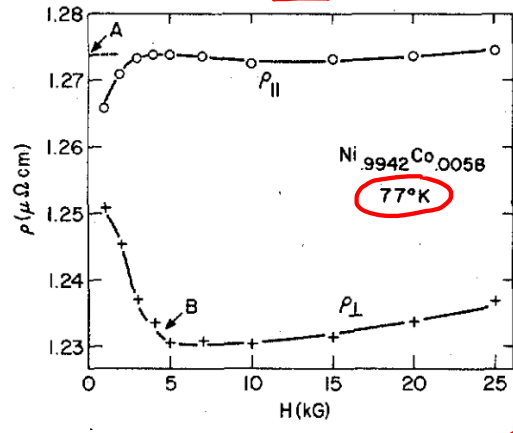
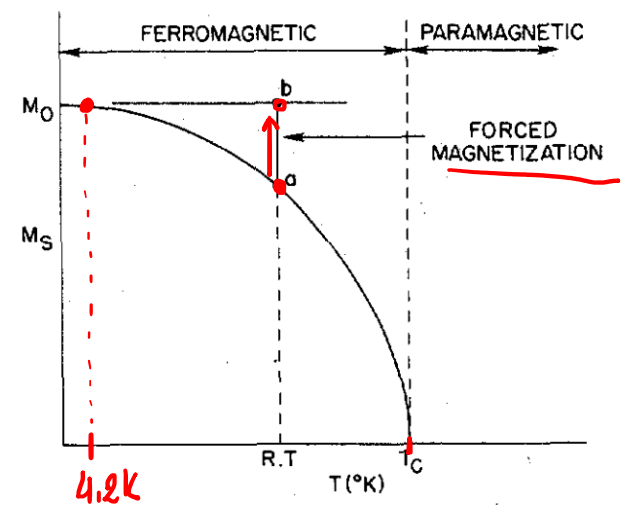
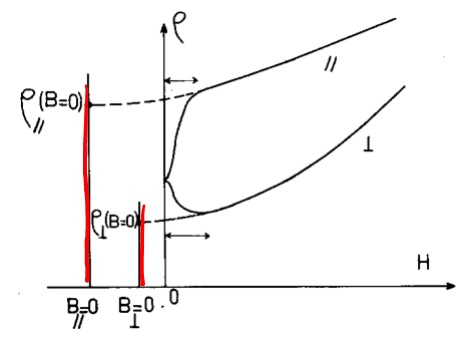
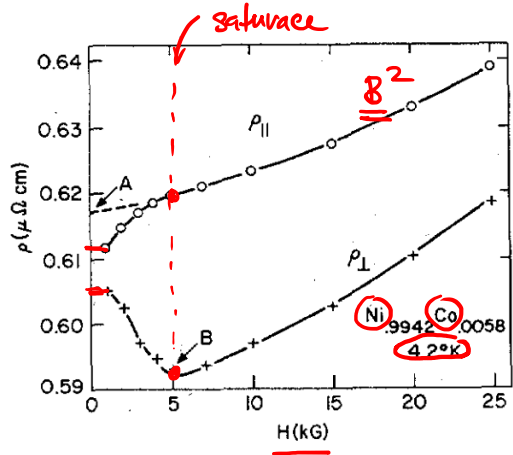
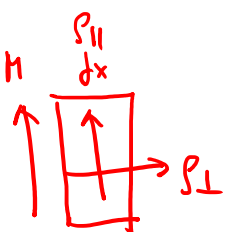
$$\alpha = \frac{\rho \uparrow}{\rho \downarrow}$$

DOBŘE VYSVĚTLUJE  $\rho$  ;  
 ALE JE IZOTROPNÍ ;  
 → EXISTUJE ANIZOTROPNÍ MR





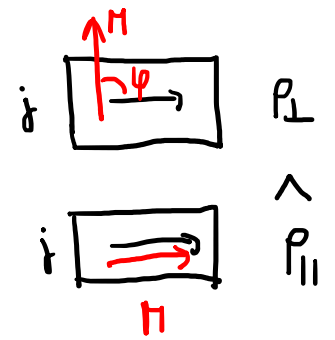
# DETEKCE B a M - MAGNETOREZISTENCE V MAGN. LÁTKÁCH



T. McGuire and R. Potter, IEEE Trans. Magn. **11**, 1018 (1975).

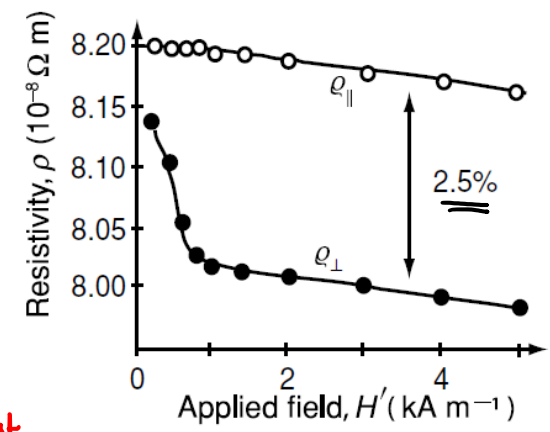
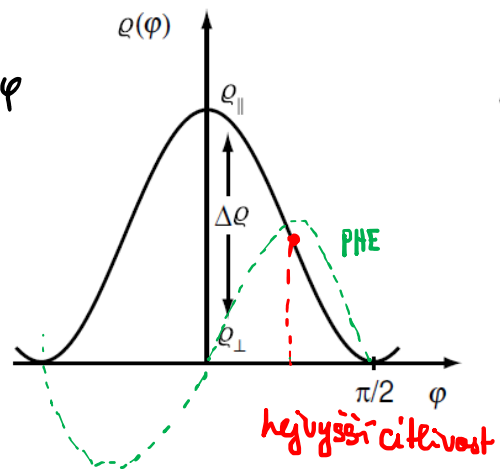
# DETEKCE B a M - MAGNETOREZISTENCE V MAGN. LÁTKÁCH

"AHR" "MLD"  
 ANIZOTROPNÍ MR:  $\propto n^2$

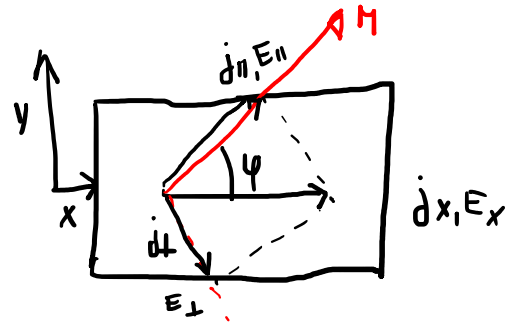


$$\rho(\varphi) = \rho_{\perp} + \Delta\rho \cos^2\varphi$$

$\uparrow$   
 $\rho_{\parallel} - \rho_{\perp}$



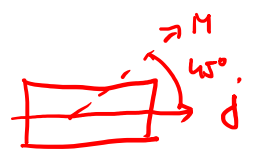
PLANAR HALL EFFECT:  $\propto H^2$



$$\left. \begin{aligned} E_{\parallel} &= \rho_{\parallel} j_x \cos\varphi \\ E_{\perp} &= \rho_{\perp} j_x \sin\varphi \end{aligned} \right\} \rightarrow$$

$$\begin{aligned} E_y &= E_{\parallel} \sin\varphi + E_{\perp} \cos\varphi = \rho_{\parallel} j_x \cos\varphi \sin\varphi + \rho_{\perp} j_x \sin\varphi \cos\varphi = \\ &= \Delta\rho \frac{1}{2} \sin 2\varphi j_x \leftarrow \text{PLANAR HE} \end{aligned}$$

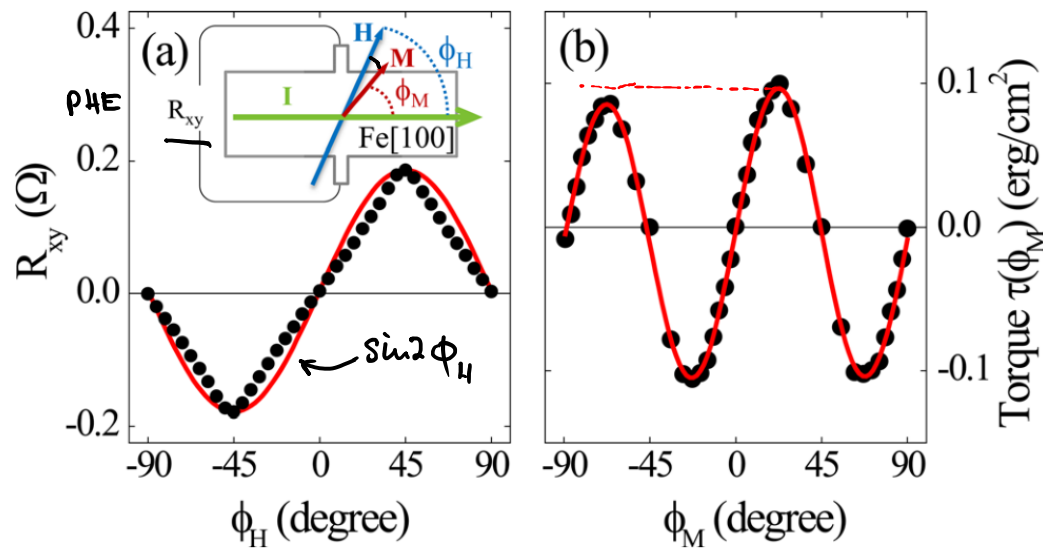
$\leftarrow$  AHR  $\leftarrow$  kvadrát  $\propto H$   $2\varphi$ -period. posunuté o  $\pi/4$  oproti AHE



$$\begin{aligned} E_x &= E_{\parallel} \cos\varphi + E_{\perp} \sin\varphi = \rho_{\parallel} j_x \cos^2\varphi - \rho_{\perp} j_x \cos^2\varphi = \\ &= (\rho_{\perp} + \Delta\rho \cos^2\varphi) j_x \end{aligned}$$

$\leftarrow$  AHR

# DETEKCE B a M - MAGNETOREZISTENCE V MAGN. LÁTKÁCH



URČENÍ MG. ANISOTROPIÍ

$$R_{xy} \stackrel{!}{=} \Delta R \sin 2\phi_M$$

$$= \Delta R \sin 2\phi_H \Rightarrow \phi_M(\phi_H)$$

*znamená*

$$E = -M_s d H \cos(\phi_H - \phi_M) + K_u \sin^2 \phi_M + K_4 \cos^2 \phi_M \sin^2 \phi_M$$

$$\frac{\partial E}{\partial \phi_M} = 0$$

$$M_s d \sin(\phi_H - \phi_M) = K_u \sin 2\phi_M + \frac{1}{2} K_4 \sin 4\phi_M$$

# DETEKCE B a M - MAGNETOREZISTENCE V MAGN. LÁTKÁCH

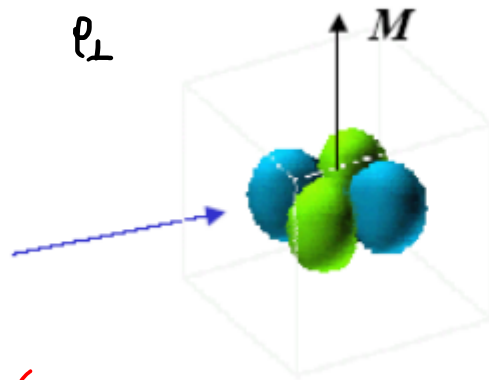
PŮVOD ? SOI (ale nejasný)

SMITŮV MODEL:

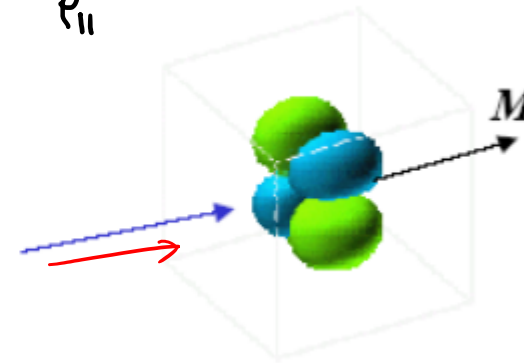
$$H_{SO} = \lambda \vec{s} \cdot \vec{L}$$

↑ SPIN (|| magnetizace)  
↑ ORBITAL

$\rho_{\perp}$



$\rho_{\parallel}$

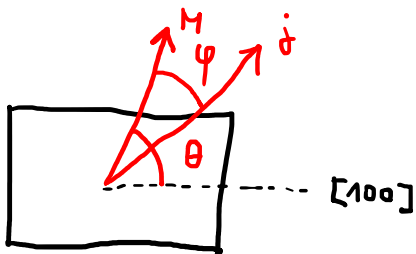


$\Rightarrow \Psi_d$  snižena symetrie  $\Rightarrow \tau_{s-d}$  se změní a je neizotropní  $\Rightarrow j_x$  a  $j_y$  nesymetrii zobrazí

$\Rightarrow d$ -orbitaly jsou také vázány na krystalické pole  $\Rightarrow$  Magnetokryстал. anizotropie

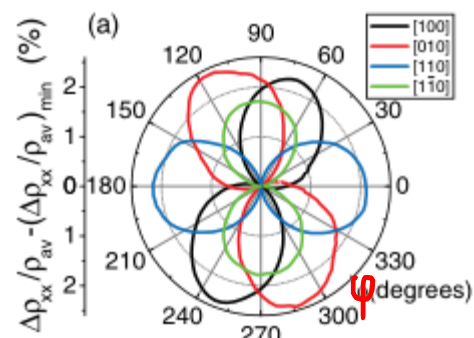
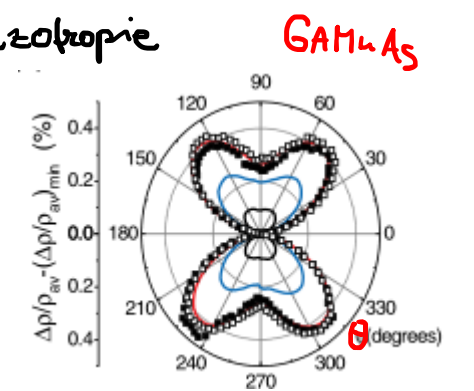
T. McGuire and R. Potter, *Anisotropic Magnetoresistance in Ferromagnetic 3d Alloys*, IEEE Trans. Magn. 11, 1018 (1975).

RŮZNÉ AMR:



$$\rho_{xx} / \rho_{av} = \underbrace{C_1 \cos 2\varphi}_{\text{NON-CRYSTALLINE}} + \underbrace{C_u \cos 2\theta + C_c \cos 4\theta}_{\text{CRYSTALLINE}} + \underbrace{C_{1,c} \cos(4\theta - 2\varphi)}_{\text{CROSSED TERM}}$$

$$\underline{\underline{\rho_{xy} / \rho_{av}}} = C_1 \sin 2\varphi + C_{1,c} \cos(4\theta - 2\varphi)$$

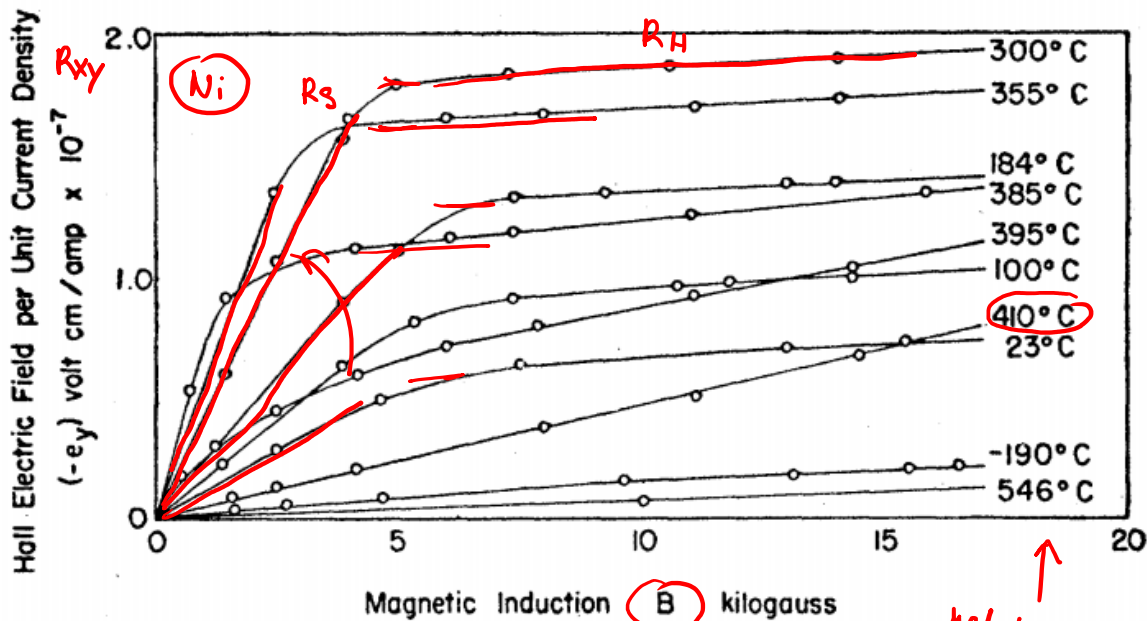


# DETEKCE B a M - HALLOWY JEVY

ORDINARY HALL EFFECT: (1 částice)

$$\vec{P} = \rho_0 \begin{pmatrix} 1 & -\alpha \\ \alpha & 1 \end{pmatrix} \quad \alpha = \mu B$$

$$\rho_{xy} = \frac{\mu B}{ne\mu} = \left(\frac{1}{ne}\right) B \quad \begin{matrix} R_H \text{ měření} \\ \underline{m} \\ \text{detekce B} \end{matrix}$$



Ni  $T_c \sim 353^\circ\text{e}$

Hall Hall 1879 (v nemag.)

Hall Hall 1881 (v FeFe<sub>2</sub>  $R_H \propto 10^4 \times 10^5$  (v síti))

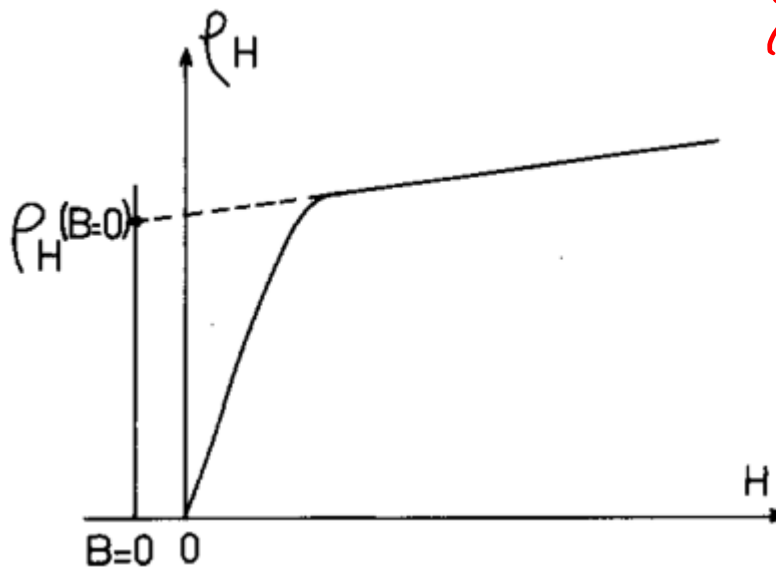
$$\rho_{xy} = \mu_0 (R_H H + R_S M_S)$$

$$\rho_{xy} = \mu_0 (R_H H + R_S M_S) \quad \begin{matrix} R_S (\rho_{xx}) \propto \rho_{xx}^{1.9} \\ R_S (\rho_{xx}) \propto \rho_{xx}^{1.9} \end{matrix}$$

Sensory  
skvělé sensory (jsou všude)  
"queen of solid-state  
transport experiments"

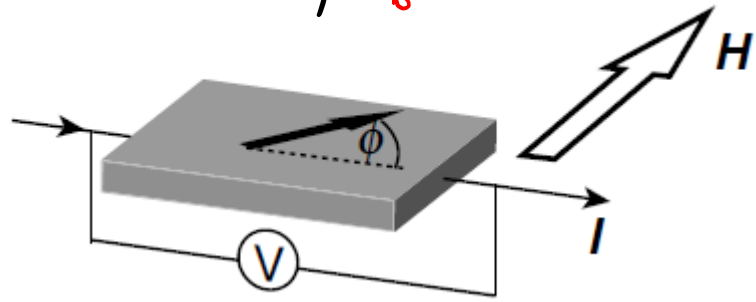
velké trápení!  
(až do 50. let)  
velké trápení!  
(odpočítá se 60. let  
20. stol.)

netrválení  
vývoj  $R_S \rightarrow T$   
(tedy  $\rho_{xx}$ )

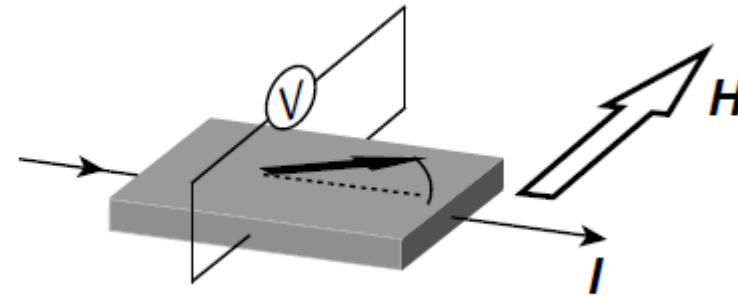


# DETEKCE B a M - SENZORY NA BAZI MAGNETOTRANSPORTU

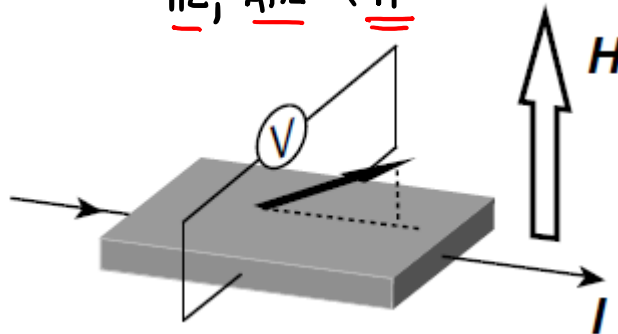
$$\text{AMR} \propto \underline{M^2}$$
$$(\text{OMR}) \propto B^2$$



$$\text{PHE} \propto \underline{M^2}$$

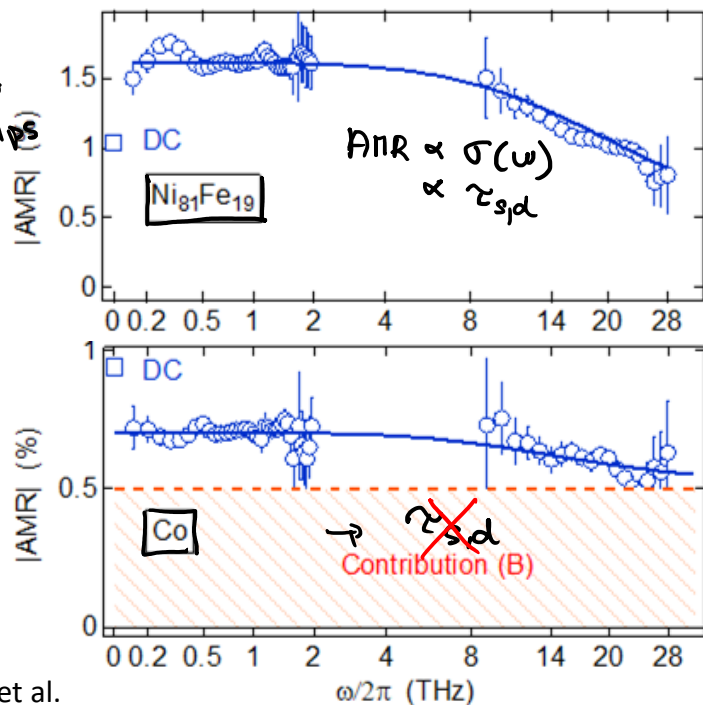
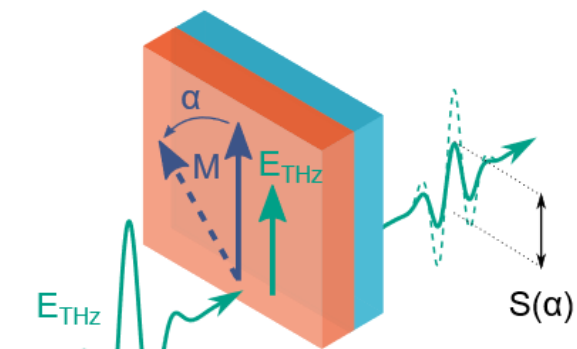


$$\underline{\text{HE}}, \underline{\text{AHE}} \propto \underline{M}$$

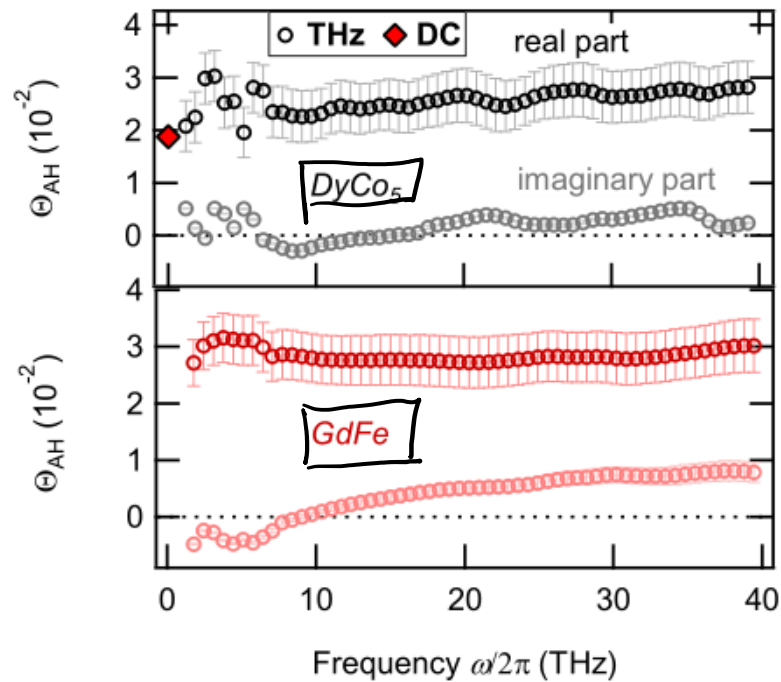
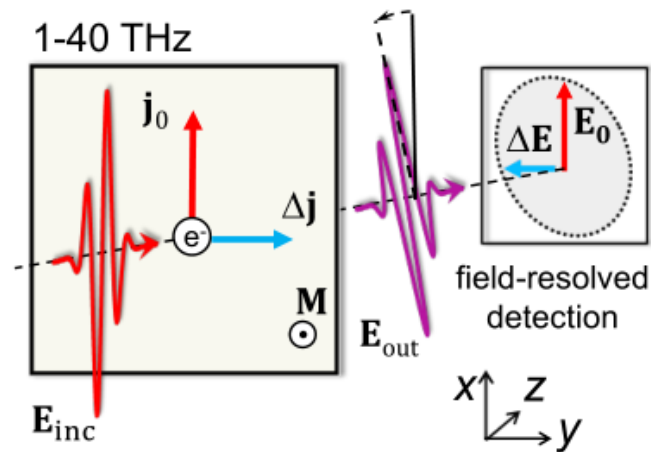


# DETEKCE B a M - MAGNETOTRANSPORT NA VYŠŠÍCH FREKVENCÍCH

@ AC  $\checkmark$  GHz: Magnetoimpedance } stále intraband transport  
 @ THz: AMR



L. Nádvořník et al.

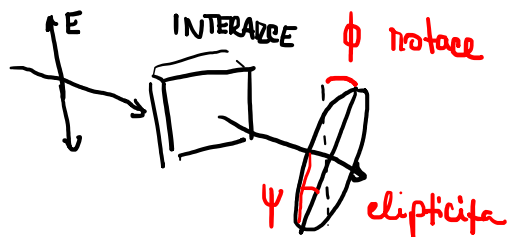


$\Rightarrow$  AHE  
intrinsic

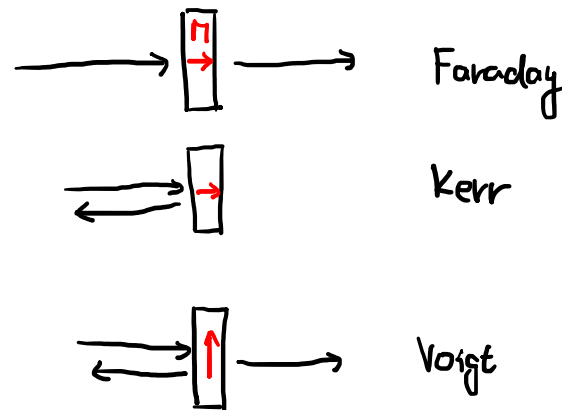
T. Seifert et al.

# DETEKCE POVRCHOVÉ MAGNETIZACE - MAGNETOPTIKA

Magneto-optika :



Geom :



2 Maxwellek :

$$-\nabla^2 E + \nabla \cdot (\nabla E) = \frac{1}{c^2} \frac{\partial^2 D}{\partial t^2}$$

$$E = E_0 e^{i(kr - \omega t)}$$

$$D = \bar{\bar{\epsilon}} E$$

$$\bar{\bar{\epsilon}} = \bar{\bar{\epsilon}}(\omega, H)$$

$$M^2 E - \vec{M}(\vec{M} \cdot E) = \bar{\bar{\epsilon}} E$$

$$\vec{M} = \frac{2}{c} \vec{k}$$

↑ řešení = závislost na sym.  $\bar{\bar{\epsilon}}$  → vlastní polarizační módy s vlastními  $m_{\pm} = m'_{\pm} + i m''_{\pm}$

pro  $m'_{+} \neq m'_{-}$  BIREFRINGENCE (CIRCULAR OR LINEAR)

$m''_{+} \neq m''_{-}$  DICHOISMUS

MCB : Faraday or Polar Kerr

MCD

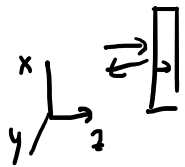
MLB Voigt or Cotton-Mouton

MLD



# DETEKCE POVRCHOVÉ MAGNETIZACE - MAGNETOPTIKA

Zjednodušený příklad: **P-MOKE:**



$$\vec{k} \cdot \vec{E} = 0$$

$$M^2 \vec{E} - \vec{M} (\vec{M} \cdot \vec{E}) = \vec{\epsilon} \vec{E}$$

$$\begin{cases} (M^2 - \epsilon_{xx}) E_x - \epsilon_{xy} E_y = 0 \\ (M^2 - \epsilon_{xx}) E_y + \epsilon_{xy} E_x = 0 \end{cases}$$

$$\vec{\epsilon} = \begin{pmatrix} \epsilon_{xx} & \epsilon_{xy} & 0 \\ -\epsilon_{xy} & \epsilon_{yy} & 0 \\ 0 & 0 & \epsilon_{zz} \end{pmatrix} \quad \epsilon_{yy} = \epsilon_{xx}$$

$$\hat{\epsilon} = \hat{\epsilon}_0 + i \frac{\hat{\sigma}}{\omega}$$

ve vakuu

kompl. vodivost

$\epsilon_{xy}$  jsou analogie k AHE

řeš.  $M_{\pm}^2 = \epsilon_{xx} \pm i \epsilon_{xy}$

$$\begin{aligned} \textcircled{+} \quad +i \epsilon_{xy} E_x - \epsilon_{xy} E_y &= 0 \quad / \cdot \frac{1}{\epsilon_{xy}} \\ +i \epsilon_{xy} E_y + \epsilon_{xy} E_x &= 0 \end{aligned}$$

$$\begin{cases} i E_x = E_y \\ i E_y = -E_x \end{cases} \quad i = e^{i\pi/2}$$

$E_x$  a  $E_y$  jsou posunuté o  $\pi/2 \rightarrow$  kruh. pol.

dále doplněním ověřeno, že  $E_y = E_y \rightarrow$  je řešení

$\rightarrow$  vlastní mody:  $E_{\pm} \propto (E_x \pm i E_y) e^{-i\omega t} e^{i\omega M_{\pm} z/c}$   $k = \frac{\omega M}{c}$

patře (i kruh. pol. se dá položit do LEP a RCP)

rozdíle  $m$  pro mody  $\rightarrow$  rotace a elipticita

Volgt coeffs.

$$\epsilon_{xy} = i Q M_z$$

pro změnu  $m$   
 $j_H = j_K \times B_H$

pozn.

$$M_{\pm}^2 = \epsilon_{xx} \pm i \epsilon_{xy}$$

$$\epsilon_{xy} = \epsilon_{0,xy} + i \frac{\sigma_{xy}}{\omega} \quad \leftarrow \text{HE, AHE}$$

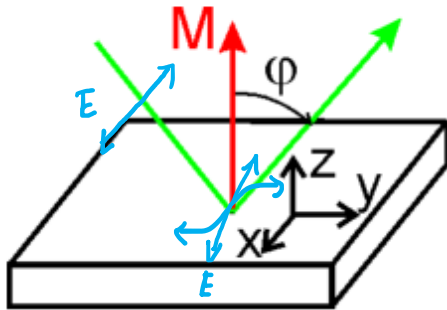
$\propto \pm \sigma_{xy} \rightarrow$  pro reálné  $\sigma_{xy} \rightarrow M_+ \neq M_- \rightarrow$  rotace.

$$r_{\pm} = \frac{M_{\pm} - 1}{M_{\pm} + 1}$$

# DETEKCE POVRCHOVÉ MAGNETIZACE - MAGNETOPTIKA

## Polar MOKE

$M \perp$  sample surface

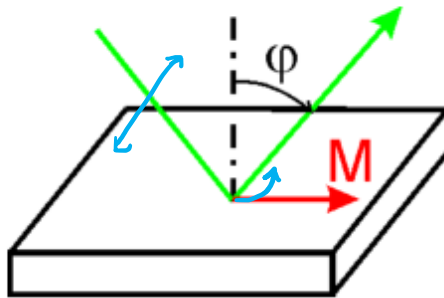


$$\begin{bmatrix} \epsilon_0 & -\epsilon_1 m_z & 0 \\ \epsilon_1 m_z & \epsilon_0 & 0 \\ 0 & 0 & \epsilon_0 \end{bmatrix}$$

*Handwritten notes:*  $E_x \rightarrow E_y$ ,  $E_y \rightarrow E_x$

## Longitudinal MOKE

$M \parallel$  plane of incidence

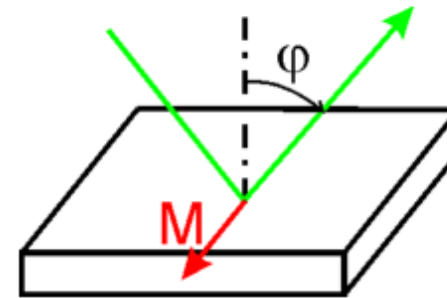


$$\begin{bmatrix} \epsilon_0 & 0 & \epsilon_1 m_y \\ 0 & \epsilon_0 & 0 \\ -\epsilon_1 m_y & 0 & \epsilon_0 \end{bmatrix}$$

*Handwritten notes:*  $E_z \rightarrow E_x$ ,  $E_x \rightarrow E_z$

## Transversal MOKE

$M \perp$  plane of incidence



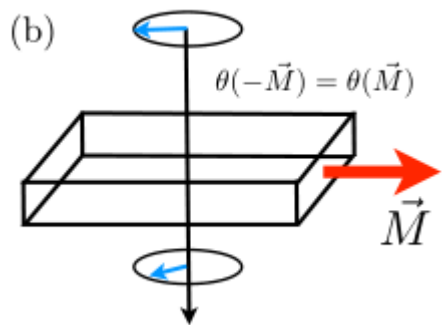
$$\begin{bmatrix} \epsilon_0 & 0 & 0 \\ 0 & \epsilon_0 & -\epsilon_1 m_x \\ 0 & \epsilon_1 m_x & \epsilon_0 \end{bmatrix}$$

*Handwritten note:*  $E_z \rightarrow E_y$

$\Rightarrow$  nekvalitní dopad

# DETEKCE POVRCHOVÉ MAGNETIZACE - MAGNETOPTIKA

MLD ( $\propto H^2$ , AMR)



$$\underline{\epsilon} = \begin{pmatrix} \epsilon_{xx} & 0 & 0 \\ 0 & \epsilon_{zz} & \epsilon_{yz} \\ 0 & -\epsilon_{yz} & \epsilon_{zz} \end{pmatrix} \begin{pmatrix} E_x \\ E_y \\ 0 \end{pmatrix}$$

Stejný postup

$$n_{||}^2 = \epsilon_{xx} \quad n_{\perp}^2 = \epsilon_{zz} \left( 1 + \left( \frac{\epsilon_{yz}}{\epsilon_{zz}} \right)^2 \right)$$

pro neobecný dopad

$$\hat{\epsilon} = \hat{\epsilon}_0 + i \hat{\sigma}$$

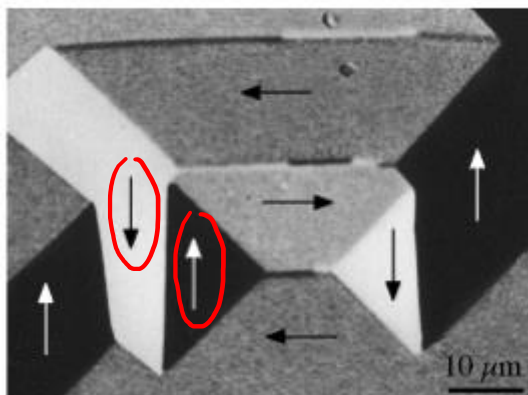
$$\sigma_{xx} = (1 + (\rho B)^2)^{-1} \sim 1 - (\rho B)^2$$

$$n_{||} - n_{\perp} \approx \frac{1}{2} n_0 \left( \underbrace{\epsilon_{xx} - \epsilon_{zz}}_{\propto M_x^2} - \frac{\epsilon_{yz}^2}{\epsilon_{zz}} \right) \begin{matrix} \leftarrow \propto (B)^2 \\ \leftarrow \frac{B^2}{1+B^2} \sim B^2 \\ \leftarrow 1 - (\rho B)^2 \end{matrix}$$

"MLB + iMLD"

AMR  $\rightarrow$  MLD

Kerr effect



Voigt effect

